

# FI 193 – Teoria Quântica de Sistemas de Muitos Corpos

2º Semestre de 2023

17/10/2023

Aula 18

# Interpretação física da Função de Green

SISTEMAS FERMIÔNICOS: SISTEMA HOMOGÊNEO:

$$t > 0: iG(\vec{k}, t) = \langle \Psi_{0H} | C_{\vec{k}H}(t) C_{\vec{k}H}^\dagger(0) | \Psi_{0H} \rangle$$

$$C_{\vec{k}H}(t) = e^{iHt} C_{\vec{k}} e^{-iHt}$$

$$\Rightarrow iG(\vec{k}, t) = \langle \Psi_{0H} | e^{iHt} C_{\vec{k}} e^{-iHt} C_{\vec{k}}^\dagger | \Psi_{0H} \rangle$$

$$| \Psi_{0H} \rangle = e^{iHt} | \Psi_{0S}(t) \rangle = e^{iHt} e^{-iE_0 t} | \Psi_{0S} \rangle = | \Psi_{0S} \rangle$$

$$\Rightarrow iG(\vec{k}, t) = \langle \Psi_{0S} | C_{\vec{k}} e^{-iHt} C_{\vec{k}}^\dagger | \Psi_{0S} \rangle = \langle \Psi_{\vec{k}} | \underbrace{e^{-iHt}}_{U(t,0)} | \Psi_{\vec{k}} \rangle$$

$\equiv | \Psi_{\vec{k}} \rangle$

i) CRIA-SE UM ELÉTRON NO ESTADO  $|\vec{k}\rangle$  NA PRESENÇA DO MAR DE FERNI INTERAGENTE EM  $t=0$

ii) EVOLUO NO TEMPO ATÉ  $t$

iii) CALCULO O "OVERLAP" COM O ESTADO INICIAL  $|\Psi_{\vec{k}}\rangle$

PARA  $t < 0$ , O RESULTADO É SEMELHANTE MAS:

$$|\Phi_{\vec{k}}'\rangle = C_{\vec{k}} |\Phi_{0s}\rangle$$

DA REPRESENTAÇÃO DE LEHMANN ( $t > 0$ ):

$$G(\vec{k}, t) = -iV \sum_n |\langle n, \vec{k} | C_{\vec{k}}^\dagger | \Phi_{0s} \rangle|^2 e^{-iE_{n\vec{k}}(N+1)t}$$

NO ESPAÇO DE FREQUÊNCIAS:

$$G(\vec{k}, \omega) = V \sum_n \frac{|\langle n, \vec{k} | C_{\vec{k}}^\dagger | \Phi_{0s} \rangle|^2}{\omega - E_{n\vec{k}}(N+1) + i\delta}$$

NO LIMITE TERMODINÂMICO:  $N \rightarrow \infty$ ,  $V \rightarrow \infty$ ,  $\frac{N}{V} = \text{CONST.}$

$$G(\vec{k}, t) = -i \int_0^\infty A(\vec{k}, \epsilon) e^{-i\epsilon t} d\epsilon$$

$$G(\vec{k}, \omega) = \int_0^\infty \frac{A(\vec{k}, \epsilon)}{\omega - \epsilon + i\delta} d\epsilon$$

SE  $t < 0$ :  $A(\vec{k}, \epsilon) \rightarrow B(\vec{k}, \epsilon)$ , ETC.

# Função espectral de um líquido de Fermi

$$A(\mathbf{k}, \epsilon) = \frac{1}{\pi} \frac{\gamma_{\mathbf{k}} Z_{\mathbf{k}}}{(\epsilon - \tilde{\epsilon}_{\mathbf{k}})^2 + \gamma_{\mathbf{k}}^2}$$

$$\gamma_{\mathbf{k}} \ll \tilde{\epsilon}_{\mathbf{k}}$$

LEVANDO NA REPRESENTAÇÃO DE LEHMANN:

$$(1) G(\vec{k}, \omega) = \frac{z_{\vec{k}}}{\omega - \tilde{\epsilon}_{\vec{k}} + i\gamma_{\vec{k}}}$$

$$z_{\vec{k}} = z_{\mathbf{k}}, \tilde{\epsilon}_{\vec{k}} = \tilde{\epsilon}_{\mathbf{k}} \\ \gamma_{\vec{k}} = \gamma_{\mathbf{k}}$$

$$(2) G(\vec{k}, t) = -i z_{\mathbf{k}} e^{-i\tilde{\epsilon}_{\mathbf{k}} t} e^{-\gamma_{\mathbf{k}} t} \quad \left( t \gg \frac{1}{\gamma_{\mathbf{k}}} \right)$$

(1) PÓLOS VEM <sup>SIMPLES</sup>  $\tilde{\epsilon}_{\mathbf{k}} - i\gamma_{\mathbf{k}}$  COM RESÍDUO  $z_{\mathbf{k}}$

(2) FORMA OSCILATÓRIA COM FREQUÊNCIA  $\tilde{\epsilon}_{\mathbf{k}}$  E SUB-

-AMORTECIMENTO COM MEIA-VIDA  $\frac{1}{2\gamma_{\mathbf{k}}}$

$\tilde{\epsilon}_k$ : ENERGIA DA QUASI-PARTÍCULA

$\frac{\Gamma}{2\epsilon_k}$ : MEIA-VIDA DA QP

$Z_k$ : RESÍDUO (OU PESO) DE QP

# Importância do limite termodinâmico

$$G(\vec{k}, t) = -iV \sum_n A_{n\vec{k}} e^{-iE_{n\vec{k}}(n+1)t}$$

$$A_{n\vec{k}} = |\langle n\vec{k} | \hat{C}_{\vec{k}} | \Psi_0 \rangle|$$

MAS, DEPOIS QUE  $V \rightarrow \infty$ :

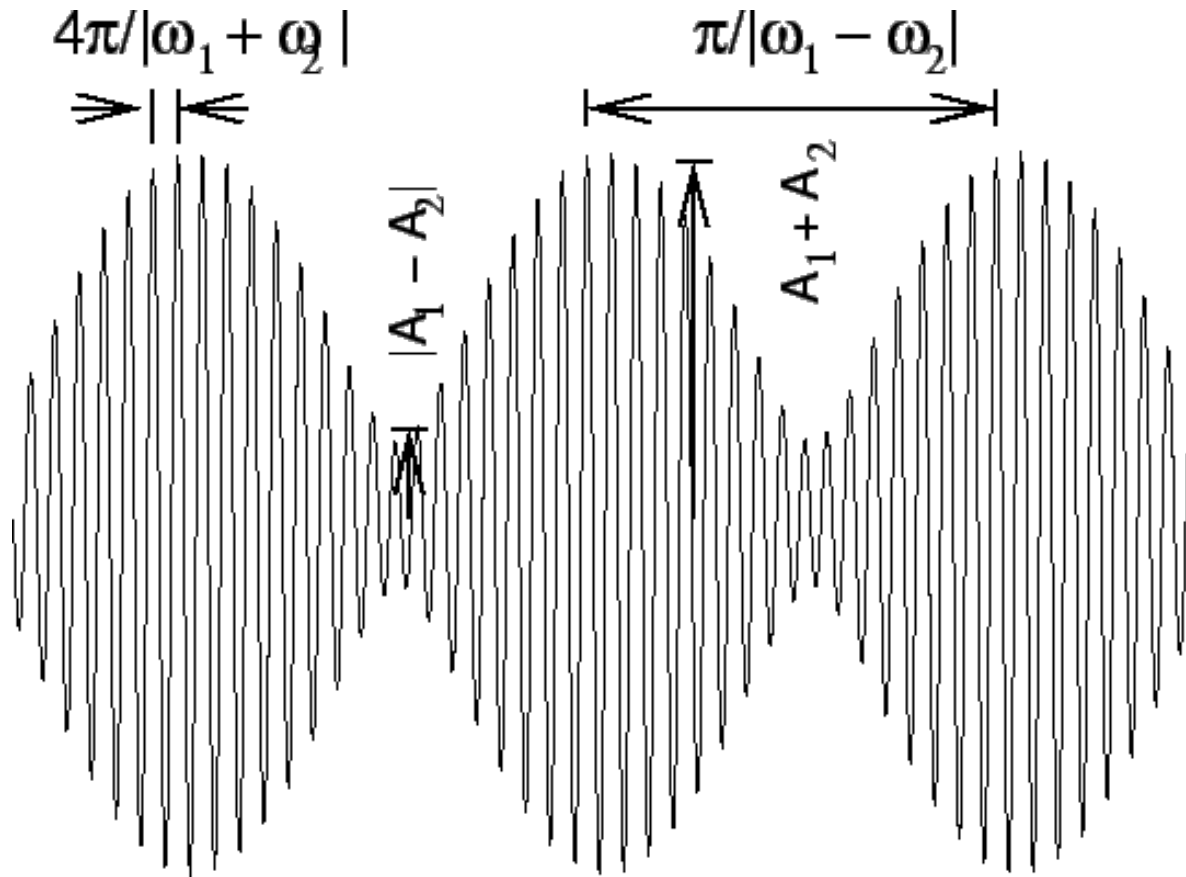
$$G(\vec{k}, t) = -i z_{\vec{k}} e^{-i\tilde{E}_{\vec{k}}t} e^{-\gamma_{\vec{k}}t}$$

• COMO É POSSÍVEL SOMAR CONTRIBUIÇÕES OSCILANTES E OBTER UMA FORMA QUE DECAI EXPONENCIALMENTE?

• EQUIVALENTEMENTE, NO PLANO DE  $\omega$ , TEMOS UMA SOMA SOBRE PÓLOS SIMPLES NO EIXO REAL DANDO ORIGEM A UM PÓLO FORA DO EIXO REAL:

LIMITE TERMODINÂMICO

# Batimentos



NO LIMITE TERMODINÂMICO:

$$\Delta E \rightarrow 0$$

NA ANALOGIA COM O BATIMENTO:

$$T_C \rightarrow \frac{1}{\delta k}$$

$$T_L \rightarrow \frac{1}{\Delta E} \rightarrow \infty$$

SE  $\omega_1 \approx \omega_2$

PERÍODO CURTO:

$$\sim \frac{1}{\omega_1 + \omega_2} \sim T_C$$

PERÍODO LONGO:

$$\sim \frac{1}{|\omega_1 - \omega_2|} \sim T_L$$

NON LÍQUIDO DE  
FERMI TEMOS DUAS  
ESCALAS DE TEMPO:

i)  $\frac{1}{\delta k}$ : MEIA-VIDA DA  
OP

ii)  $\frac{1}{\Delta E}$ : SEPARAÇÃO ENTRE  
DE ENERGIAS CON-  
SECUTIVAS DAS OP

# A auto-energia de líquidos de Fermi

VIMOS QUE:  $G(\vec{k}, \omega) = \frac{1}{\omega - \epsilon_{\vec{k}} - \Sigma(\vec{k}, \omega)}$ ;  $\epsilon_{\vec{k}} = \frac{k^2}{2m} - \mu$

NUM SISTEMA HOMOGENEO E ISOTROPICO:  $= \frac{k^2}{2m} - \frac{k_F^2}{2m}$

$$\Sigma(\vec{k}, \omega) = \Sigma(k, \omega)$$

$$= \frac{(k+k_F)(k-k_F)}{2m}$$

NO EXERCÍCIO 3.14 DO FTW (LISTA):

A F.G. TEM POLOS EM:  $\tilde{\epsilon}_k + i\gamma_k$

$$\begin{aligned} &\rightarrow \frac{k_F}{m} (k - k_F) \\ &= v_F (k - k_F) \end{aligned}$$

$$\tilde{G}_k = G_k + \Sigma'(k, \tilde{\epsilon}_k)$$

$$\gamma_k = \frac{\Sigma''(k, \tilde{\epsilon}_k)}{1 - \left. \frac{\partial}{\partial \omega} \Sigma'(k, \omega) \right|_{\omega = \tilde{\epsilon}_k}} \quad (\text{SE } \gamma_k \ll \tilde{\epsilon}_k)$$

ONDE:  $\Sigma'(k, \omega) = \text{Re}[\Sigma(k, \omega)]$

$\Sigma''(k, \omega) = \text{Im}[\Sigma(k, \omega)]$



TEOREMA DE LUTTINGER: PHYS. REV. 113, 1153 (1960)

1)  $\tilde{\epsilon}_k \rightarrow 0$  QUANDO  $k \rightarrow k_F$  ONDE  $k_F$  É DADO PELO SISTEMA NÃO-INTERAGENTE:  $\frac{k_F^3}{3\pi^2} = \frac{N}{V}$

AS INTERAÇÕES NÃO ALTERAM O VOLUME DA ESFERA DE FERMÍ.

$$2) \Sigma''(k, \omega) \sim A\omega^2 + B(k - k_F)^2$$

ELA SE ANULA EM  $\omega = 0$  E  $k = k_F$  E O FAZ DE

FORMA QUADRÁTICA

$$\text{DE 1) } \tilde{\epsilon}_k = \sqrt{f}^* (k - k_F) = \frac{k_F}{m^*} (k - k_F)$$

$m^*$ : MASSA RENORMALIZADA OU EFETIVA

$\sqrt{f}^*$ : VELOCIDADE DE FERMÍ RENORMALIZADA

EXPANDIR  $\Sigma(k, \omega)$  EM TORNO DE  $k_f$  E  $\omega=0$ :

$$\Sigma'(k, \omega) = \Sigma'(k_f, 0) + \frac{\partial \Sigma'}{\partial k} \Big|_{k_f, \omega=0} (k - k_f) + \frac{\partial \Sigma'}{\partial \omega} \Big|_{\omega=0, k_f} \omega + O(\omega^2, (k - k_f)^2)$$

VIMOS QUE:

$$\tilde{\epsilon}_k = \epsilon_k + \Sigma'(k, \tilde{\epsilon}_k)$$

$$\text{SE } k \rightarrow k_f: \quad v_F^*(k - k_f) = v_F(k - k_f) + \Sigma'(k_f, 0) + \frac{\partial \Sigma'}{\partial k} (k - k_f) + \frac{\partial \Sigma'}{\partial \omega} \Big|_{\omega=0, k_f} v_F^*(k - k_f)$$

$$\text{NO LIMITE: } \Sigma'(k_f, 0) = 0$$

LEVANDO NA FUNÇÃO DE GREEN:

$$\begin{aligned} [G(\vec{k}, \omega)]^{-1} &= \omega - v_F(k - k_f) - \frac{\partial \Sigma'}{\partial k} (k - k_f) - \left( \frac{\partial \Sigma'}{\partial \omega} \right) \omega - i \Sigma'' \\ &= \underbrace{\left[ 1 - \frac{\partial \Sigma'}{\partial \omega} \right]}_a \omega - \underbrace{\left[ v_F + \frac{\partial \Sigma'}{\partial k} \right]}_b (k - k_f) - i \Sigma'' \end{aligned}$$

$$G(\vec{k}, \omega) = \frac{1}{a\omega - b(k - k_F) - i\Sigma''} = \frac{1/a \rightarrow Z_k}{\omega - \underbrace{\frac{b}{a}(k - k_F)}_{\tilde{\epsilon}_k} - i \underbrace{\frac{\Sigma''}{a}}_{\delta_k}}$$

$$\tilde{\epsilon}_k = v_F^* (k - k_F) = \frac{k_F}{m^*} (k - k_F)$$

$$\Rightarrow \frac{k_F}{m^*} = \frac{b}{a} = \frac{\frac{k_F}{m} + \frac{\partial \Sigma'}{\partial k}}{1 - \frac{\partial \Sigma'}{\partial \omega}}$$

MULTIPLICICO POR  $\frac{m}{k_F}$

$$\frac{m}{m^*} = \frac{1 + \frac{m}{k_F} \frac{\partial \Sigma'}{\partial k} \Big|_{\omega=0, k_F}}{1 - \frac{\partial \Sigma'}{\partial \omega} \Big|_{\omega=0, k_F}}$$

$$Z_k = \frac{1}{a} = \frac{1}{1 - \frac{\partial \Sigma'}{\partial \omega} \Big|_{\omega=0, k_F}}$$

$$\delta_k = \frac{\Sigma''}{a} = \frac{\Sigma''(k, \omega)}{1 - \frac{\partial \Sigma'}{\partial \omega} \Big|_{\omega=0, k_F}}$$

$\propto \omega^2, (k - k_F)^2 \ll \tilde{\epsilon}_k$

# Medidas do tamanho da superfície de Fermi por oscilações quânticas

Efeito de Haas-van Alphen: pequenas oscilações da magnetização como função do campo magnético.

- As frequências como função de  $1/B$  são medidas das áreas extremas da superfície de Fermi.
- A dependência com a temperatura dá a massa efetiva.
- Também resistividade (Shubnikov-de Haas)

# Medidas do tamanho da superfície de Fermi por oscilações quânticas

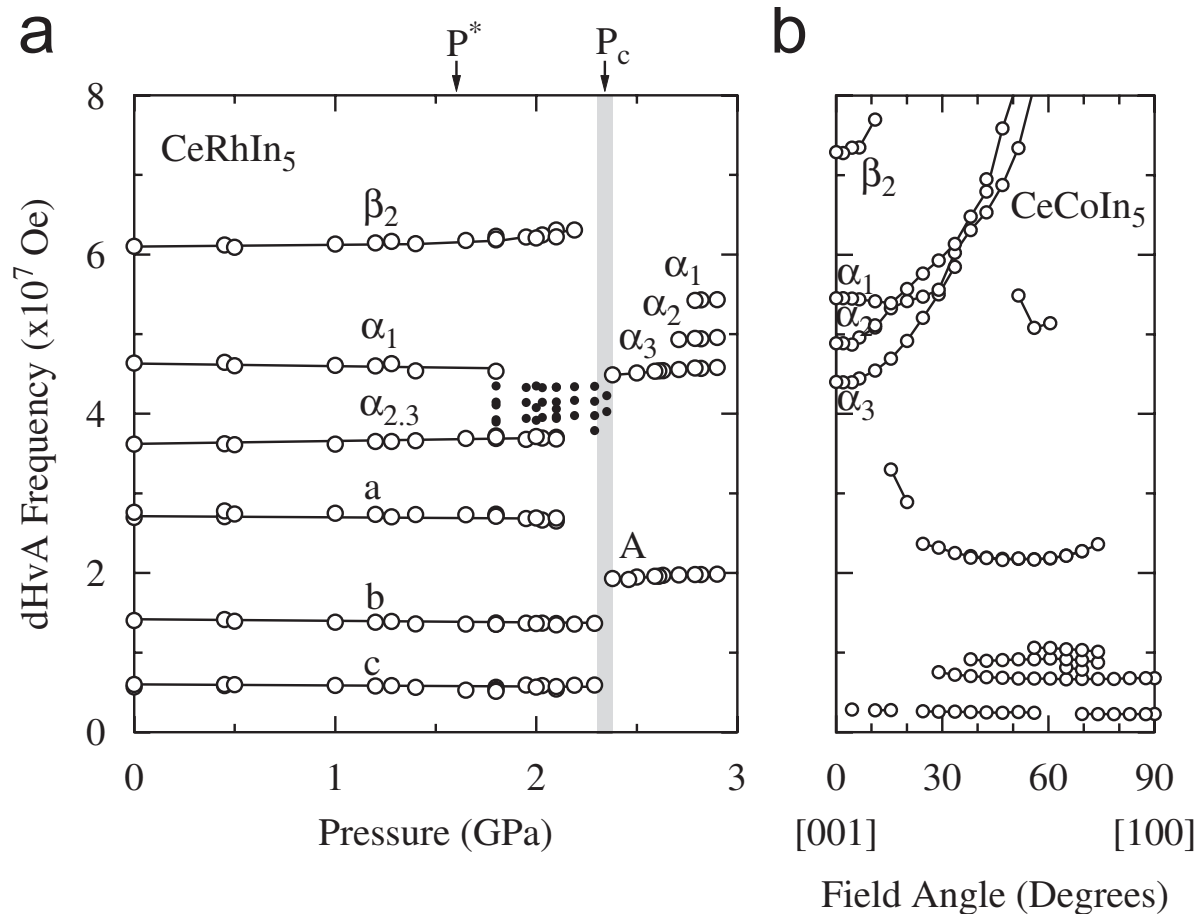


Fig. 5. (a) Pressure dependence of the dHvA frequency in CeRhIn<sub>5</sub> and (b) field angle dependence of the dHvA frequency in CeCoIn<sub>5</sub> [7].

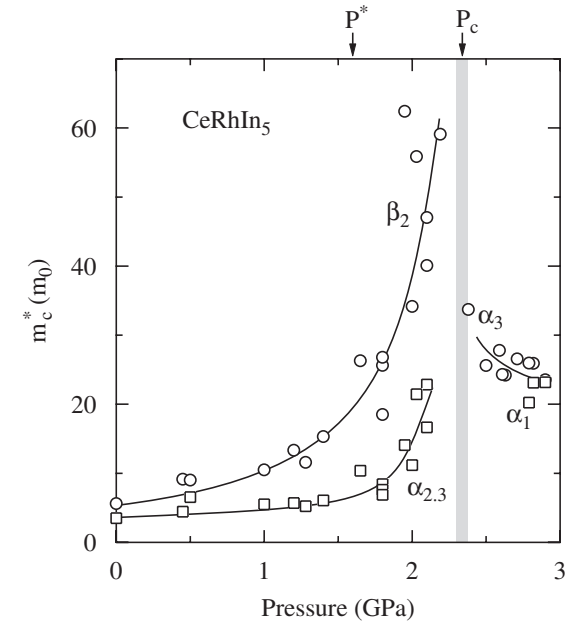


Fig. 6. Pressure dependence of the cyclotron mass in CeRhIn<sub>5</sub> [7].

R. Settai et al., J. Magn. Magn. Mat. **310**, 541 (2007)

# Quase-partículas ou não?

(OP  $T_c=90\text{K}$ )  $\text{Bi}_2\text{Sr}_2\text{CaCu}_2\text{O}_{8+\delta}$

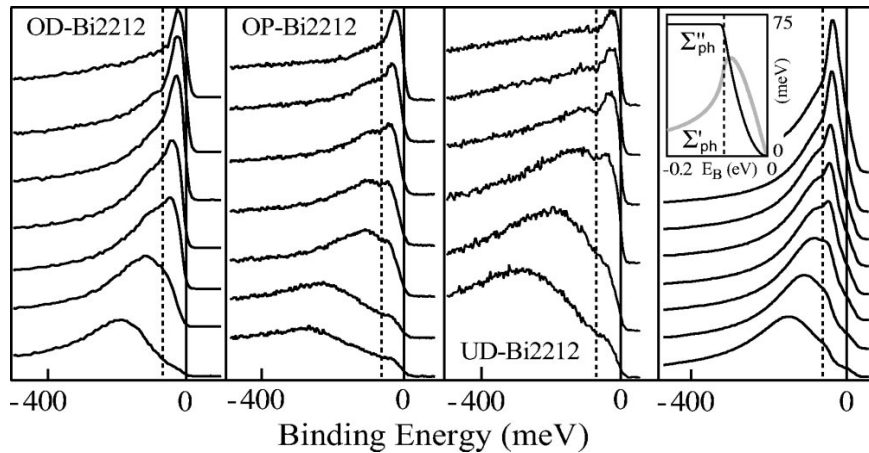
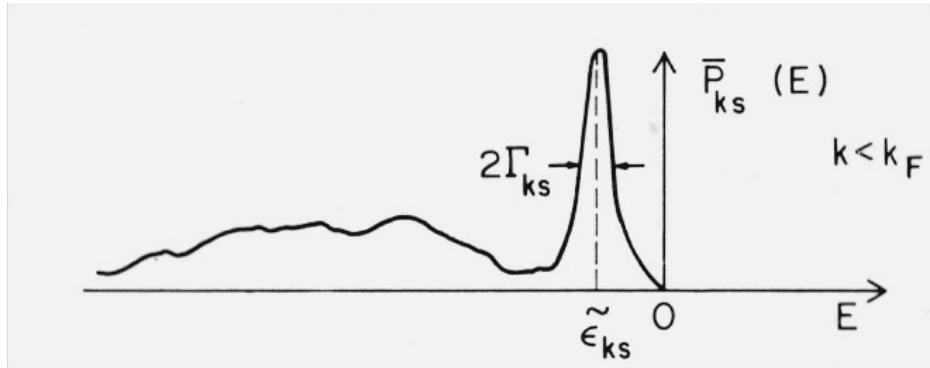


FIG. 79. Low-temperature spectra from overdoped (OD), optimally doped (OP), and underdoped (UD) Bi2212 along  $(0,0)-(\pi,\pi)$ . Right panel: spectral function for an electron-phonon coupled system in the Debye model at  $T=0$ ;  $\Sigma'(\omega)$  and  $\Sigma''(\omega)$  are shown in the inset, where the dashed line indicates the maximum phonon energy. From Lanzara *et al.*, 2001.

Rev. Mod. Phys. **75**, 473 (2003)

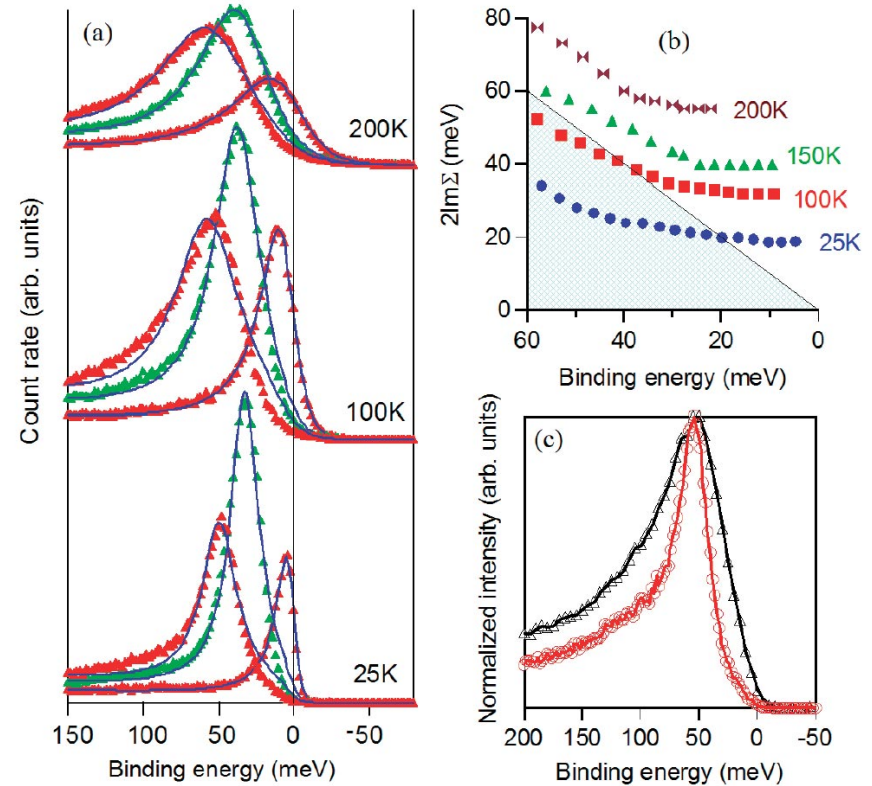


FIG. 3 (color). (a) EDCs (triangles) and Lorentzian fits (blue lines) at different temperatures (offset for clarity) for three emission angles each. (b) Summary of EDC fitting results showing full-width  $2\text{Im}\Sigma$  versus peak position. The shaded region indicates where peak full widths are sharper than their energy, which should be considered quasiparticle-like. (c) Raw EDCs from the laser (red circles) and 52 eV synchrotron source (black triangles) measured at the same  $\mathbf{k}$  value.

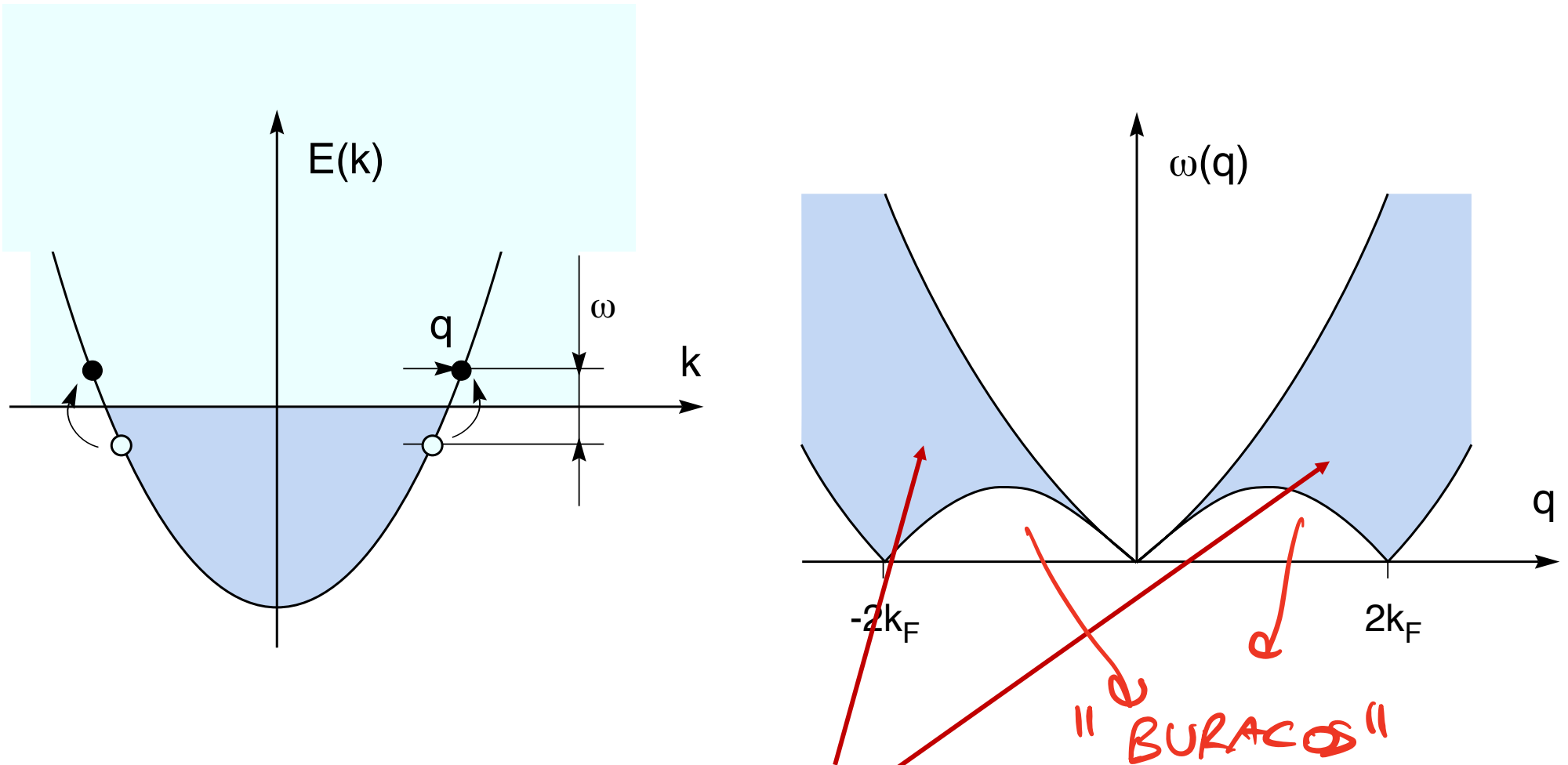
Laser ARPES: Phys. Rev. Lett. **96**, 017005 (2006)

# Líquidos de Luttinger (1D)

Em 1D, a teoria dos líquidos de Fermi não é válida:

- Espaço de fase diferente (superfície de Fermi são **pontos**).
- Funções de Green **não têm polos simples**, mas **pontos de ramificação** no plano  $\omega$  complexo.
- Não há quase-partículas estáveis.
- **Separação de spin e carga**: “holons” e “spinons” são as excitações estáveis.

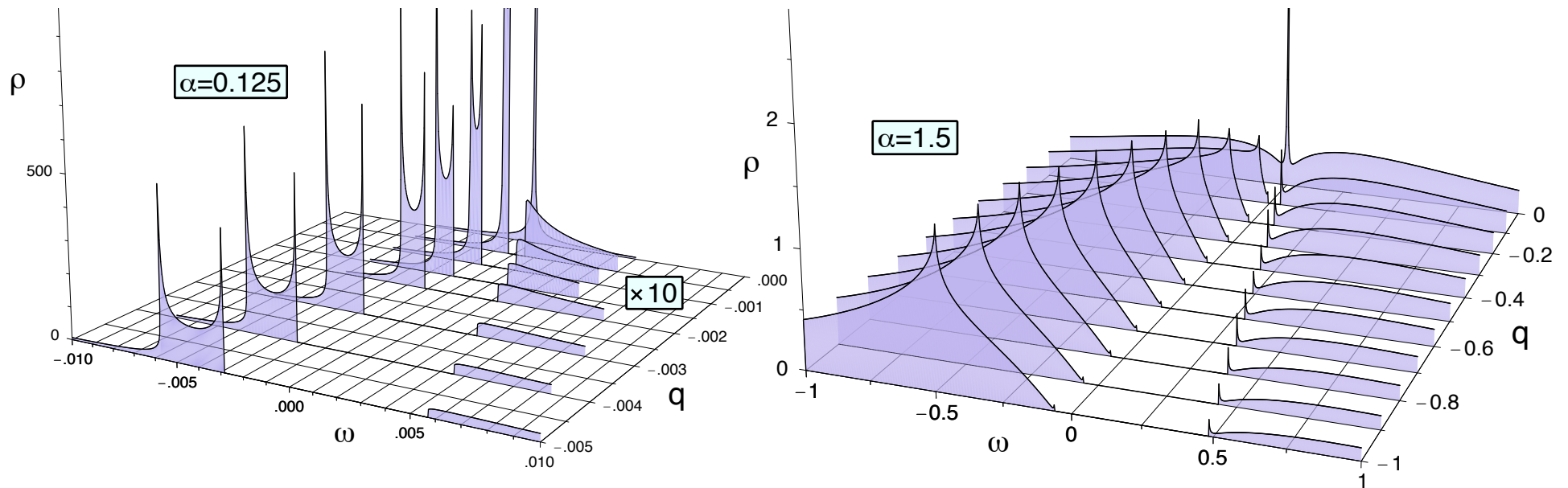
# Líquidos de Luttinger (1D)



Excitações partícula-buraco



# Líquidos de Luttinger (1D)



**FIGURE 2.** Spectral functions of a Luttinger liquid. The three signals represent the holon, the spinon, and the shadow bands (left to right). Left panel: weak/short-range interactions,  $\alpha = 1/8$  ( $K_\rho = 1/2$ ). Right panel: strong/long-range interactions,  $\alpha = 1.5$  ( $K_\rho = 1/8$ ).

Johannes Voit, AIP Conference Proceedings **544**, 309 (2000)